

АБИРА ОЛИВСОН, Э. ЛИППМАА

## ИССЛЕДОВАНИЕ СПИН-РЕШЕТОЧНОЙ РЕЛАКСАЦИИ ЯДЕР $^{13}\text{C}$ В ОРГАНИЧЕСКИХ СОЕДИНЕНИЯХ

В настоящее время сведения о спин-решеточной релаксации ядер  $^{13}\text{C}$  в различных классах соединений крайне ограничены. Это объясняется трудностями аппаратурного и методологического характера, связанными с количественными измерениями в условиях низкого шумового отношения.

В данной работе методом регистрации сигнала дисперсии при быстром адиабатическом прохождении (БАП) измерены времена спин-решеточной релаксации ядер  $^{13}\text{C}$  в ряде соединений и исследована релаксация ядер  $^{13}\text{C}$  в сероуглероде в диапазоне температур от  $+90$  до  $-46^\circ\text{C}$ . Коротко анализируются некоторые методические вопросы, связанные с использованием БАП для измерения  $T_1$  слабых сигналов.

### Экспериментальная часть

Эксперимент по измерению  $T_1$  методом БАП [1] предполагает возможность выполнения известных условий адиабатичности и быстроты прохождения

$$2\pi[\gamma H_1]^2 \gg \frac{dv_0}{dt}, \quad \frac{\gamma H_1}{T_1, T_2} \ll \frac{dv_0}{dt}, \quad (1)$$

что связано с необходимостью использования значительных амплитуд ВЧ поля  $H_1$  и варьирования в широких пределах скорости прохождения.

При низком шумовом отношении выбор оптимальных условий прохождения на основе общепринятого критерия — максимального приближения формы сигнала дисперсии в условиях БАП к лоренцевой — затруднен. Это объясняется тем, что

а) остаточная асимметрия сигнала при нарушении условий БАП может быть скрыта в шуме;

б) использование образцов больших размеров связано со значительными неоднородностями магнитных полей в объеме образца и температурными градиентами в исследуемой системе;

в) неточный выбор фазы опорного сигнала детектора при БАП ведет к потерям интенсивности регистрируемого сигнала, а при нарушении условий прохождения форма, интенсивность и положение максимума сигнала зависят от относительной доли дисперсионной и отличной от нуля абсорбционной составляющих в регистрируемом сигнале [2, 3];

г) часто сигнал вообще не наблюдаем без накопления.

Из сказанного выше следует, что при выборе метода измерения  $T_1$  у ядер, дающих слабые сигналы, приходится исходить из следующих требований:

- 1) возможность его применения в условиях накопления сигнала;
- 2) в конкретных условиях прохождения регистрируется сигнал максимально достижимой интенсивности;
- 3) возможность коррекции результатов эксперимента при нарушении условий БАП.

Проведенный нами анализ известных вариантов метода БАП показал, что наилучшим образом этим требованиям удовлетворяет вариант, аналогичный импульсному  $\pi - \pi/2$  [4]. Применение разновидностей периодического прохождения ограничено и в любом случае невыгодно с точки зрения интенсивности регистрируемого сигнала.

Если  $T_2 \ll T_1$ , что имеет место для ядер  $^{13}\text{C}$  в  $\text{CCl}_4$ ,  $\text{CHCl}_3$ ,  $\text{CH}_3\text{CN}$  и других соединениях, где действует механизм скалярного спин-спинового взаимодействия II рода [1, 5], то выполнение условий БАП возможно лишь при значительных амплитудах ВЧ поля и скоростях прохождения. Однако сигнал от ядер  $^{13}\text{C}$  в подобных соединениях обычно крайне слаб, что создает дополнительные трудности для проверки правильности выбора экспериментальных условий. Использование периодического прохождения при существенных нарушениях БАП ведет к периодическим потерям намагниченности при ее обращении и, как следствие, к заниженным значениям  $T_1$ , как это имело место для ряда соединений в наших предварительных исследованиях [6].

Настоящая работа проводилась на спектрометре ЯМР для гетероядер, детально описанном ранее [7]. Спектрометр базируется на электромагните JNM-3 (японская фирма JEOL), создающем постоянное магнитное поле напряженностью 14,1 и 9,4 кГс для резонансных частот ядер  $^{13}\text{C}$  15,1 и 10,1 МГц соответственно.

Амплитуда поля  $H_1$  измерялась методом нутаций Торри и в ходе эксперимента выбиралась так, чтобы выполнялось соотношение

$$10^2 \frac{\gamma H_1}{T_1, T_2} \leq \frac{dv_0}{dt} \ll 10^{-1} 2\pi (\gamma H_1)^2.$$

Времена  $T_1$  ядер  $^{13}\text{C}$  в протоносодержащих соединениях измерялись в условиях двойного резонанса с полной развязкой всех протонов. При необходимости сигналы от последовательных прохождений накапливались в двух половинах памяти 512-канального накопителя типа LP4050 (Нокиа, Финляндия).

Образцы с естественным содержанием изотопа  $^{13}\text{C}$  (1,1%) освобождались от кислорода воздуха продуванием потока чистого аргона в течение 15–20 мин и запаивались в сферические ампулы внешним диаметром 15 мм. Ампула с сероуглеродом окрашивалась в черный цвет для предотвращения разложения  $\text{CS}_2$  под действием света.

Температуры ниже комнатной получены путем продувания паров жидкого азота, а выше комнатной — пропусканием потока горячего воздуха.

## Результаты и обсуждение

Результаты настоящей работы вместе с ранее известными данными собраны в таблице. Там же приводятся значения вклада в  $T_1$  от механизма диполь-дипольного взаимодействия  $^{13}\text{C}-^1\text{H}$ , рассчитанные по формуле (с учетом сильного сужения) [1]

$$\frac{1}{T_1^M(\text{dd})} = \frac{4}{3} \gamma_{\text{C}}^2 \gamma_{\text{H}}^2 \hbar^2 I_H (I_H + 1) \frac{\tau_d^M}{r_{\text{CH}}^6}, \quad (2)$$

где  $I_H$  — спин протонов;  $\tau_d^m$  — время корреляции переориентации молекулы, полученное на основе теории вращательной диффузии из уравнения Стокса—Дебая с учетом поправки  $f_r$  на микровязкость, выведенную А. Гирером и К. Виртцем [8],

$$\tau_d^m = \frac{4\pi r^3 \eta f_r}{3kT}. \quad (3)$$

Экспериментальное значение вклада диполь-дипольного взаимодействия получено на основе измерений ядерно-ядерного эффекта Оверхаузера  $h = (M - M_0)/M_0$ , где  $M$  и  $M_0$  — соответственно намагниченности углерода при насыщении протонов и при монорезонансе, согласно выражению [1]

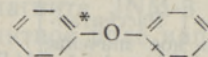
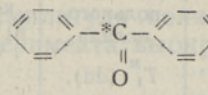
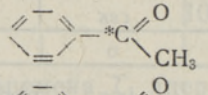
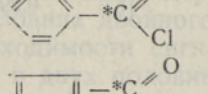
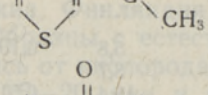
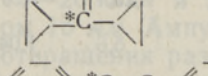
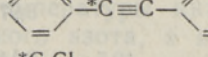
$$T_1^h(\text{dd}) = \frac{T_1^{\text{эксп}} \cdot \gamma_H/\gamma_C}{2h}. \quad (4)$$

При расчете вклада диполь-дипольного взаимодействия с учетом измерений  $T_1^D(\text{dd})$  в дейтерированных аналогах пренебрегалось взаимодействием  $^{13}\text{C}-\text{D}$ .

Значения  $T_1^{\text{эксп}}$ , где это дополнительно не оговорено, измерены при температуре 30°С с ошибкой  $\pm 10\%$ .

#### Времена спин-решеточной релаксации $T_1$ ядер $^{13}\text{C}$ в органических соединениях

№ пп	Соединение	$T_1^{\text{эксп}}$ , сек	Вклад диполь-ди- польного взаимо- действия		Рассчитан- ное значение диполь-ди- польного вклада $T_1^m(\text{dd}),$ сек	Вяз- кость $\eta^{[11]^{**}},$ спз
			$T_1^h(\text{dd}),$ сек	$T_1^D(\text{dd}),$ сек		
1	2	3	4	5	6	7
1.	$(^*\text{CH}_3)_2\text{CO}$	25	49,7	32	15,7	0,295
	$(\text{CH}_3)_2^*\text{CO}$	31; 19[9]				
2.	$(^*\text{CD}_3)_2\text{CO}$	69				
	$(\text{CD}_3)_2^*\text{CO}$	38				
3.	$(^*\text{CCl}_3)_2\text{CO}$	250				
	$(\text{CCl}_3)_2^*\text{CO}$	163				
4.	$^*\text{CH}_3\text{CH}_2\text{OH}$	8	8,0		5,8	0,1003
	$\text{CH}_3^*\text{CH}_2\text{OH}$	11,5	11,4		8,7	
5.	$^*\text{CH}_3\text{OD}$	17,5	48	33	16,4	0,510
6.	$^*\text{CD}_3\text{OD}$	35				
7.	$^*\text{CH}_3\text{COOH}$	14	13,9		5,6	1,04
	$\text{CH}_3^*\text{COOH}$	36				
8.	$^*\text{CCl}_3\text{COOH}$	10 <sup>600</sup>				3,97
9.	$^*\text{CCl}_3\text{COOH} + \text{H}_2\text{O}$	15				
10.	$^*\text{CH}_3\text{NO}_2$	17			10,5	0,149
11.	$^*\text{CH}_3\text{CN}$	20			18,9	0,325
	$\text{CH}_3^*\text{CN}$	64				
12.		7,5				
13.	$^*\text{CH}_3\text{J}$	$\sim 3,5[9]$				0,460

1	2	3	4	5	6	7
14.	$^*\text{CH}_2$ в адамантане	11,4 <sup>[10]</sup>				
	$^*\text{CH}$ в адамантане	20,5				
15.	$t-(^*\text{CH}_3)_3\text{CNH}_2$	14				
	$t-(\text{CH}_3)_3^*\text{CNH}_2$	80				
16.	$t-(^*\text{CH}_3)_3\text{COH}$	2	2,3		1,2	3,004 <sup>320</sup>
	$t-(\text{CH}_3)_3^*\text{COH}$	21				
17.	$t-(^*\text{CH}_3)_3\text{CCl}$	17	16,9		7,3	0,439
	$t-(\text{CH}_3)_3^*\text{CCl}$	68				
18.	$(\text{C}_2\text{H}_5\text{O})_4^*\text{C}$	47 <sup>[9]</sup>				
19.	$\text{H}^*\text{COOH}$	11	14,6		18,8	1,465
20.	$\text{H}^*\text{CON}(\text{CH}_3)_2$	14	13,9		21,3	0,6440 <sup>0</sup> <sup>[12]</sup>
21.	$^*\text{C}_6\text{H}_6$	28 <sup>220</sup>			19,0	0,564 <sup>300</sup>
		29 <sup>680</sup>			29,9	0,3587 <sup>00</sup>
		30 <sup>800</sup>			32,6	0,329 <sup>800</sup>
22.	$^*\text{C}_6\text{D}_6$	90 <sup>260</sup>				0,392 <sup>600</sup>
		73 <sup>600</sup>				
23.	$^*\text{CHCl}_3$	30		54	61	18,8
24.	$^*\text{CDCl}_3$	59				0,514
25.	$^*\text{CO}_2 + \text{H}_2\text{O}$	35 <sup>[9]</sup>				
26.	$^*\text{CO}_2 + \text{D}_2\text{O}$	45 <sup>[9]</sup>				
27.	$^*\text{CO}_2 + \text{CS}_2$	24 <sup>[9]</sup>				
28.	$\text{NH}_2^*\text{COONH}_4$	5 <sup>[9]</sup>				
29.	$(\text{CH}_3\text{O})_2^*\text{CO}$	49 <sup>[9]</sup>				
30.	$(\text{C}_2\text{H}_5\text{O})_2^*\text{CO}$	51 <sup>[9]</sup>				
31.	$\text{O}^*\text{CS}$	20 <sup>[9]</sup>				
32.	$\text{CS}_2$	41; 35 <sup>[9]</sup>				
33.		55 <sup>280</sup>				
34.		20 <sup>550</sup>				
35.		34 <sup>280</sup> <sup>[2]</sup>				
36.		49 <sup>280</sup> <sup>[2]</sup>				
37.		30 <sup>280</sup> <sup>[2]</sup>				
38.		25 <sup>280</sup> <sup>[2]</sup>				
39.		52 <sup>280</sup> <sup>[2]</sup>				
40.	$^*\text{C}_2\text{Cl}_4$	212				0,80
41.	$^*\text{CCl}_4$	228***				0,843

\* Звездочкой обозначено исследуемое ядро.

\*\* Значения  $\eta$ , где не отмечена температура, соответствуют  $+30^\circ$ .

\*\*\* В работе [2] получено ошибочное значение  $<6$  сек. См. соответствующее объяснение в тексте.

Анализ табличных данных еще раз подтверждает сделанный нами ранее вывод о том, что значения  $T_1$  ядер  $^{13}\text{C}$  в органических соединениях колеблются в пределах от нескольких секунд до сотен секунд, т. е. по порядку величины совпадают с  $T_1$  протонов, а не являются аномально длинными.

В спин-решеточной релаксации ядер  $^{13}\text{C}$  групп, содержащих протоны, активно участвует механизм диполь-дипольного взаимодействия между ядрами  $^{13}\text{C}$  и  $^1\text{H}$ . Однако для многих соединений ядерно-ядерный эффект Оверхаузера почти вдвое меньше, чем следовало бы ожидать при чистом диполь-дипольном характере процесса релаксации. На участие в релаксации ядер  $^{13}\text{C}$  других механизмов указывает также и то обстоятельство, что дейтерирование не приводит к такому увеличению  $T_1$ , которое соответствовало бы доминирующей роли диполь-дипольного взаимодействия. Конкурирующим механизмом в данном случае является, очевидно, спин-вращательное взаимодействие между спином ядра и угловым моментом молекулы. Последнее подтверждается также резким возрастанием  $T_1$  при наличии в молекуле тяжелых ядер ( $\text{Cl}$ ).

Сравнение расчетов вклада диполь-дипольного взаимодействия на основе модели микровязкости с экспериментальными данными показывает, что для ряда соединений (ацетон, уксусная кислота, *t*-бутиловый спирт и др.) теория переоценивает роль данного механизма, что подтверждает сделанный на основе анализа  $T_1$  дейтерия в целом ряде соединений вывод Дж. А. Глейзела [13] о том, что фактор  $f_r = 1/_{12}$  приводит к лучшему согласию с экспериментом, чем  $f_r = 1/6$ .

Роль скалярного спин-спинового взаимодействия II рода в спин-решеточной релаксации ядер  $^{13}\text{C}$  при наличии в молекуле квадрупольных ядер ( $^{35}\text{Cl}$ ,  $^{14}\text{N}$ ) ничтожна.

### Сероуглерод

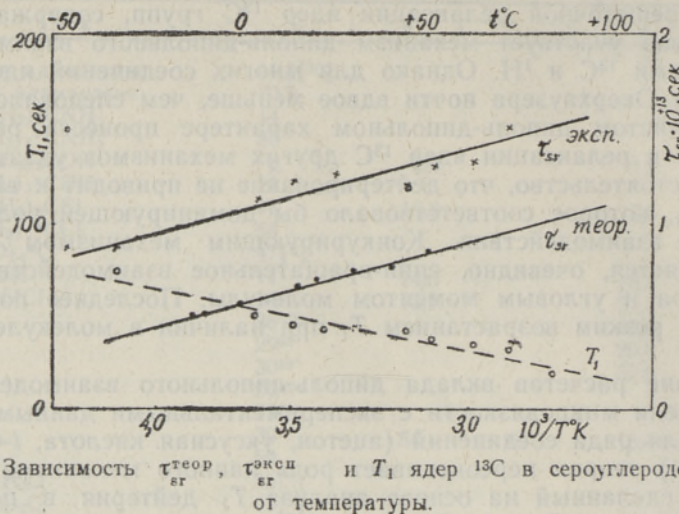
Сероуглерод был исторически первым соединением, в котором оценивалось время спин-решеточной релаксации ядра  $^{13}\text{C}$  [14]. Относительно короткое  $T_1$  ядер  $^{13}\text{C}$  в  $\text{CS}_2$  объяснялось действием механизма анизотропного экранирования.

Для оценки эффективности механизма анизотропного экранирования в релаксации ядер  $^{13}\text{C}$  в  $\text{CS}_2$  нами исследована спин-решеточная релаксация  $^{13}\text{C}$  в сероуглероде при резонансных частотах 15,1 и 10,1  $\text{МГц}$  в диапазоне температур от  $-46$  до  $+90^\circ$ . Измерения показали, что в указанном температурном диапазоне величина  $T_1$  в пределах ошибки измерений ( $\pm 10\%$ ) не зависит от резонансной частоты и при  $25^\circ$   $T_1^{(15,1)} = 40$  сек,  $T_1^{(10,1)} = 42$  сек.

Расчет анизотропии экранирования ядра  $^{13}\text{C}$  в  $\text{CS}_2$  на основе теории и данных Дж. Попла [15] приводит к значению  $\Delta\sigma = 58$  м.д. (при  $\langle r \rangle_{2p} = 0,8069$  Å [16],  $\Delta E = 7$  эВ). Если принять, что время корреляции молекуллярной переориентации  $\tau_a = 10^{-12}$  сек, что согласуется как с расчетами на основе теории вращательной диффузии, так и с данными по измерению времени диэлектрической релаксации в  $\text{CS}_2$  [17], то скорость релаксации за счет действия механизма анизотропного экранирования составит величину  $0,04 \cdot 10^{-4}$  сек $^{-1}$  (при  $20^\circ$ ), что на четыре порядка меньше экспериментального значения и в расчет не принимается.

Исследование температурной зависимости скорости спин-решеточной релаксации ядра  $^{13}\text{C}$  в  $\text{CS}_2$  показало, как видно из рисунка, характеристическое для механизма спин-вращательного взаимодействия возрастание скорости релаксации с повышением температуры, откуда можно заключить, что  $(T_1)_{\text{эксп}}^{-1} \cong (T_1)_{\text{теор}}^{-1}$ .

В общем случае скорость спин-решеточной релаксации за счет действия механизма спин-вращательного взаимодействия выражается следующим образом [18]:



$$\left(\frac{1}{T_1}\right)_{sr} = \frac{8\pi^2}{9} kT\hbar^{-2}[I_x + I_y + I_z][C_{xx}^2 + C_{yy}^2 + C_{zz}^2] \frac{\tau_{sr}}{1 + (\omega_0\tau_{sr})^2}. \quad (5)$$

Здесь, кроме общепринятых обозначений,  $I_x$ ,  $I_y$ ,  $I_z$  — главные моменты инерции молекулы;  $C_{xx}$ ,  $C_{yy}$ ,  $C_{zz}$  — соответствующие диагональные компоненты тензора спин-вращательного взаимодействия в системе координат, с которой связаны главные моменты инерции;  $\tau_{sr}$  — время корреляции, ответственное за данный механизм.

Для линейной симметричной молекулы  $\text{CS}_2$  в системе координат, жестко связанной с молекулой, с началом координат у исследуемого ядра и осью  $x$  вдоль связи  $\text{C}-\text{S}$ , выражение (5) в условиях сильного сужения сводится к

$$\left(\frac{1}{T_1}\right)_{sr} = \frac{32\pi^2}{9} kT\hbar^{-2} I_{\perp} C_{\perp}^2 \tau_{sr}, \quad (5')$$

где  $I_{\perp} \equiv I_y = I_z$ ;  $C_{\perp} \equiv C_{yy} = C_{zz}$ .

Используя связь между константой абсолютного магнитного экранирования и константой спин-вращательного взаимодействия, полученную Н. Рэмзи [19], величину  $C_{\perp}$  для линейной симметричной молекулы можно рассчитать по формуле [20]

$$\sigma^{(K)} = \sigma_d^{(K)} + \sigma_p^{(K)} = \sigma_d^{(K)} + \frac{e}{3mc\hbar\mu_n g_K} C_{\perp} I_{\perp} - \frac{e^2}{3mc^2} \sum_{l \neq K} Z_l [r_{lk}]^{-1}, \quad (6)$$

где  $\sigma_d^{(K)}$ ,  $\sigma_p^{(K)}$  — соответственно диамагнитный и парамагнитный вклады в экранирование ядра  $K$ ;  $\mu_n$ ,  $g_K$  — ядерный магнетон и  $g$ -фактор ядра  $K$  соответственно;  $Z_l$  — заряды соседних с ядром  $K$  ядер;  $r_{lk} \equiv r_{cs}$  — расстояние между ядрами  $l$  и ядром  $K$ , являющимся в данном случае центром масс молекулы и принятым за начало координат.

Расчет  $C_{\perp}$  из (6) при  $\sigma_p^{(K)} = -394$  м.д. [15],  $r_{cs} = 1,553$  Å,  $I_{\perp} = 264 \cdot 10^{-40}$  г·см<sup>2</sup> [21] приводит к значению  $C_{\perp} = -2,1$  кг·с.

Полученные из (5') с учетом величины  $C_{\perp}$ , рассчитанной из (6), значения  $\tau_{sr}^{\text{эксп}}$  по порядку величины совпадают с расчетами на основе теории вращательной диффузии с  $f_r = 0,163$

$$\tau_{sr}^{\text{теор}} = \frac{I_0}{8\pi r^3 \eta f_r} \quad (7)$$

где  $\eta$  — макроскопическая вязкость;  $r$  — радиус молекулы;  $I_0$  — средний момент инерции молекулы. Зависимости  $\tau_{sr}^{\text{эксп}}$  и  $\tau_{sr}^{\text{теор}}$  от температуры приведены на рисунке. Совпадение между ними можно считать удовлетворительным, учитывая грубоść моделей и приближенный характер расчетов.

### Выводы

1. Получены новые сведения о спин-решеточной релаксации ядер  $^{13}\text{C}$  в органических соединениях и сделан обзор известных к настоящему времени данных о  $T_1$  ядер  $^{13}\text{C}$ .

2. На основе экспериментального анализа известных вариантов метода БАП по измерению  $T_1$  сделан вывод о том, что вариант, эквивалентный импульсному  $\pi - \pi/2$ , в условиях низкого шумового отношения наиболее надежен.

3. Показано, что в диапазоне температур от  $+90$  до  $-46^\circ$  спин-решеточная релаксация ядер  $^{13}\text{C}$  в  $\text{CS}_2$  определяется действием механизма спин-вращательного взаимодействия между спином ядра  $^{13}\text{C}$  и вращательным моментом молекулы.

4. Расчет анизотропии экранирования ядра  $^{13}\text{C}$  и константы спин-вращательного взаимодействия для  $\text{CS}_2$  привел к значениям  $\Delta\sigma = 58 \text{ м.д.}$  и  $C_{\perp} = -2,1 \text{ кг} \cdot \text{с}$  соответственно.

Примечание. Когда работа над рукописью настоящей статьи была завершена, мы получили известие о релаксационных исследованиях на ядрах  $^{13}\text{C}$ , проводимых в отделении молекулярной физики Института им. Макса Планка (Гейдельберг, ФРГ).

Авторы благодарны Х. Джэкли, У. Хэберлену и Д. Швейцеру за предоставление рукописи их статьи.

### ЛИТЕРАТУРА

1. Абрагам А., Ядерный магнетизм, М., 1963.
2. Ernst R. R., Advances in Magnetic Resonance, 2, Acad. Press, N.-Y. — L. (1966).
3. Linzer M., J. Appl. Phys., **40**, 372 (1969).
4. Janzen W. R., Суг И. J. R., Dunell B. A., J. Chem. Phys., **48**, 1246 (1968).
5. Freeman R., Ernst R. R., Anderson W. A., J. Chem. Phys., **46**, 1125 (1967).
6. Оливсон А., Липпман Э., Паст Я., Изв. АН ЭССР, Физ. Матем., **16**, 390 (1967).
7. Липпман Э., Пехк Т., Паст Я., Изв. АН ЭССР, Физ. Матем., **16**, 345 (1967).
8. Gierer A., Wirtz K., Z. Naturforsch., **8a**, 532 (1953).
9. Hunter B. K., Reeves L. W., Canad. J. Chem., **46**, 1399 (1968).
10. Kuhlman K. F., Grant D. M., Harris R. K., J. Chem. Phys., **52**, 3439 (1970).
11. Handbook of Chemistry and Physics, Chem. Rubber Co, 48th Edition, 1967—1968.
12. Салувере Т., Липпман Э., Изв. АН ЭССР, Физ. Матем., **18**, 445 (1969).
13. Glaser J. A., J. Am. Chem. Soc., **91**, 4569 (1969).
14. McConnell H. M., Holm C. H., J. Chem. Phys., **25**, 1289 (1956).
15. Pople J. A., Molec. Phys., **7**, 301 (1963/1964).
16. Wilmhurst I. K., J. Chem. Phys., **33**, 813 (1960).
17. Вукс М. Ф., Атаходжаев А. К., Оптика и спектроскопия, **5**, 51 (1958).
18. Green D. K., Powles J. G., Proc. Phys. Soc. (London), **85**, 87 (1965).

19. Ramsey N. F., Molecular Beams, Clarendon Press, Oxford (1956).  
 20. Flygare W. H., J. Chem. Phys., **41**, 793 (1964).  
 21. Zandler M. E., Watson I. A. Jr., Eyring H., J. Phys. Chem., **72**, 2730 (1968).

Институт кибернетики  
Академии наук Эстонской ССР

Поступила в редакцию  
2/III 1970

*ABIRA OLIVSON, E. LIPPMAA*

**SÜSINIK-13 SPIN-VÖRE RELAKSATSIONI UURIMINE ORGAANILISTES ÜHENDITES**

Uuriti orgaaniliste ühendite süsinik-13 spin-võre relaksatsiooni paljudes orgaanilistes ühendites. Tuumse Overhauseri efekti mõõtmisest selgus, et paljudes protoneeritud funktsionaalsetes rühmades on dipool-dipool interaktsioon  $^{13}\text{C}$  ja  $^1\text{H}$  vahel oluline, kuid mitte ainus süsinik-13 tuumade relaksatsioonimehhanism.

Väävelsüsinikü süsinik-13 tuumade spin-võre relaksatsioonis resonantssagedustel 15,1 ja 10,1 MHz temperatuurivahemikus  $-46$  kuni  $+90^\circ\text{C}$  domineerib spin-rotatsiooni interaktsioon. Magnetilise ekraanerimise anisotroopia efekt  $^{13}\text{C}$  tuumade relaksatsioonis on mainitud temperatuurivahemikus tühine.

*ABIRA OLIVSON, E. LIPPMAA*

**STUDY OF CARBON-13 SPIN-LATTICE RELAXATION IN ORGANIC COMPOUNDS**

Carbon-13 spin-lattice relaxation processes in organic compounds have been investigated. It has been shown by nuclear Overhauser effect measurements that in some protonated functional groups the proton—carbon-13 dipole-dipole interaction provides an important, but not the only possible relaxation mechanism of  $^{13}\text{C}$  nuclei.

In carbon disulfide at resonance frequencies of 15.1 and 10.1 MHz and temperatures from  $-46$  to  $+90^\circ\text{C}$  the carbon-13 nuclei relax through spin-rotational interaction. The role of magnetic shielding anisotropy in the relaxation of  $^{13}\text{C}$  nuclei in  $\text{CS}_2$  at temperatures mentioned above is negligible.